

- [6] Гафийчук В. В., Кияк С. Г., Савицкий Г. В., Пляцко Г. В. // Тез. докл. VI Всесоюз. конф. по нерезонансному взаимодействию оптического излучения с веществом. Вильнюс, 1984. С. 71.
- [7] Ахманов С. А., Емельянов В. И., Коротеев Н. И., Семиногов В. Н. // УФН. 1985. Т. 147. № 4. С. 675—745.
- [8] Yaws C. L., Lutwack P., Dickens L. L., Hsu G. // Sol. St. Technol. 1981. Vol. 24. N 1. P. 87—92.

Минский  
радиотехнический институт

Поступило в Редакцию  
26 апреля 1988 г.  
В окончательной редакции  
19 декабря 1988 г.

01; 05, 07

Журнал технической физики, т. 59, в. 9, 1989

## ТЕОРИЯ СКОЛЬЗЯЩЕЙ РЕНТГЕНОВСКОЙ ДИФРАКЦИИ НА КРИСТАЛЛИЧЕСКОЙ ПЛЕНКЕ В КИНЕМАТИЧЕСКОМ ПРИБЛИЖЕНИИ

И. А. Шипов, М. А. Андреева

Рентгеновская дифракция на кристаллических плоскостях, почти перпендикулярных поверхности в условиях полного внешнего отражения (ПВО), начиная с пионерской работы [1], эффективно используется для исследования кристаллической структуры ультратонких пленок и поверхностей [2]. Особенностью скользящей геометрии эксперимента является структурная информативность зависимостей интенсивности дифрагированной волны  $I_h$  не только от угла отклонения от угла Брэгга  $\Delta\vartheta$ , но и от углов скольжения падающего на поверхность излучения  $\varphi_0$  и выхода (зеркальной) дифрагированной волны  $\varphi_h$ . Выяснилось, что интерпретация кривых  $I_h(\varphi_h)$  различается в случаях дифракции на совершенных и мозаичных кристаллах [3]. В первом случае  $\Delta\vartheta$  и  $\varphi_h$  жестко связаны между собой (при фиксированном  $\varphi_0$ ) [4], в кинематическом случае  $I_h(\varphi_h)$  и  $I_h(\Delta\vartheta)$  независимы: положение и форма  $I_h(\Delta\vartheta)$  определяет период решетки и размеры когерентно рассеивающих областей вдоль поверхности, а форма  $I_h(\varphi_h)$  связана с толщиной или глубиной залегания участкового в дифракции (для выделяемого  $\Delta\vartheta$ ) слоя.

Кинематическая теория скользящей дифракции для случая полубесконечного однородного кристалла развита в [5, 6]. В настоящей работе получены аналитические формулы, описывающие  $I_h(\varphi_h)$  для случая кристаллической пленки в рамках кинематического приближения с учетом различия электронных плотностей пленки и подложки. В отличие от [5, 6] в настоящей работе учитывается, что поле в кристалле в условиях ПВО в общем случае представляет собой не просто френелевскую затухающую волну, а систему стоячих волн.

Для решения задачи используем матричное уравнение для тангенциальных (индекс  $t$ ) компонент электрического и магнитного полей излучения проходящей и дифрагированной (индексы 1 и 2 соответственно) волн, полученное в [7] (ограничиваясь рассмотрением  $\sigma$  — поляризации дифракционной задачи, когда  $H_{it}=H_i$ ,  $i=1, 2$ )

$$\frac{d}{dz} \begin{pmatrix} H_1(z) \\ E_{1t}(z) \\ H_2(z) \\ E_{2t}(z) \end{pmatrix} = ikM(z) \begin{pmatrix} H_1(z) \\ E_{1t}(z) \\ H_2(z) \\ E_{2t}(z) \end{pmatrix}; \quad M = -\Phi_0 E + \begin{pmatrix} \hat{\alpha} & \hat{\beta} \\ \hat{\gamma} & \hat{\delta} \end{pmatrix}, \quad (1)$$

где  $E$  — единичная матрица  $4 \times 4$ , а

$$\hat{\alpha} = \begin{pmatrix} 0 & 1 \\ \Phi_0^2 + \chi_0 & 0 \end{pmatrix}, \quad \hat{\beta} = \begin{pmatrix} 0 & 0 \\ \chi_h & 0 \end{pmatrix}, \quad \hat{\gamma} = \begin{pmatrix} 0 & 0 \\ \chi_h & 0 \end{pmatrix}, \quad \hat{\delta} = \begin{pmatrix} -\psi & 1 \\ \Phi_0^2 + \chi_0 & -\psi \end{pmatrix}. \quad (2)$$

Здесь  $\chi_{0,h}$ ,  $\hbar$ ,  $(z)$  — фурье-компоненты поляризуемости среды,  $\psi(z)=(\tau q)$  — эффективный угол разориентации отражающих плоскостей,  $q$  — единичный вектор нормали к поверхности,  $\tau$  — вектор обратной решетки в единицах  $\omega/c$ ,  $\Phi_{0,h}=\sin \varphi_0$ ,  $\hbar$ .

В кинематическом случае, когда размеры когерентно рассеивающих областей на поверхности меньше длины экстинкции, в (1) можно пренебречь обратным влиянием дифрагированной волны на проходящую, т. е. положить  $\chi_h = 0$ . Тогда возможно при  $\chi_0, \chi_h(z), \psi(z) = \text{const}$  получить аналитическое решение (1), раскладывая матричный экспоненциал в ряд и проводя с учетом  $\hat{\beta} = 0$  и  $\hat{a}^2 = (\Phi_0^2 + \chi_0)$ , суммирование,

$$\begin{pmatrix} H_1(d) \\ E_{1t}(d) \\ H_2(d) \\ E_{2t}(d) \end{pmatrix} = L(d) \begin{pmatrix} H_1(0) \\ E_{1t}(0) \\ H_2(0) \\ E_{2t}(0) \end{pmatrix}, \quad (3)$$

$$L(d) = e^{ikM d} = e^{-ikd\Phi_0} \begin{pmatrix} \hat{X} & 0 \\ \hat{W} & \hat{Y} \end{pmatrix}, \quad (4)$$

где  $L(d)$  — толщина кристаллической пленки,

$$\hat{X} = \begin{pmatrix} \cos Q_0 & \frac{i}{\eta_0} \sin Q_0 \\ i\eta_0 \sin Q_0 & \cos Q_0 \end{pmatrix}, \quad \hat{Y} = e^{-ikd\psi} \begin{pmatrix} \cos Q_h & \frac{i}{\eta_h} \sin Q_h \\ i\eta_h \sin Q_h & \cos Q_h \end{pmatrix},$$

$$\hat{W} = (\eta_0^2 - \hat{d}^2)^{-1} \{ (\cos Q_0 - \cos(kd\hat{d}))(\hat{\gamma}\hat{a} + \hat{d}\hat{\gamma}) + i(\eta_0 \sin Q_0 - \hat{d} \sin(kd\hat{d}))\hat{\gamma} + i(\eta_0^{-1} \sin Q_0 - \hat{d}^{-1} \sin(kd\hat{d}))\hat{d}\hat{a} \} =$$

$$= \chi_h \begin{pmatrix} A + B + C \left(1 + \frac{\psi}{\eta_h}\right) + D \left(1 - \frac{\psi}{\eta_h}\right) & \frac{B - A}{\eta_0} + \frac{D - C}{\eta_h} \\ A(\psi - \eta_0) + B(\psi + \eta_0) - C(\psi + \eta_h) - D(\psi - \eta_h) & A \left(1 - \frac{\psi}{\eta_0}\right) + B \left(1 + \frac{\psi}{\eta_0}\right) + C + D \end{pmatrix},$$

$$A = \frac{e^{-ikd\eta_0}}{2((\psi - \eta_0)^2 - \eta_h^2)}, \quad B = \frac{e^{ikd\eta_0}}{2((\psi + \eta_0)^2 - \eta_h^2)},$$

$$C = \frac{e^{-ikd(\eta_h + \psi)}}{2((\psi + \eta_h)^2 - \eta_0^2)}, \quad D = \frac{e^{ikd(\eta_h - \psi)}}{2((\psi - \eta_h)^2 - \eta_0^2)}, \quad (5)$$

$$\text{а } \eta_0, \eta_h = \sqrt{\Phi_0^2 + \chi_0 + \chi_h}, \quad Q_0, \eta_h = kd\eta_0, \eta_h.$$

При  $\varphi_0 = \varphi_h$  и  $\psi = 0$ , раскрывая неопределенность для  $\hat{W}$ , получаем выражение

$$\hat{W} = -\frac{\chi_h}{2\eta_0^2} \begin{pmatrix} Q_0 \sin Q_0 & -\frac{i}{\eta_0} (Q_0 \cos Q_0 - \sin Q_0) \\ -i\eta_0(Q_0 \cos Q_0 + \sin Q_0) & Q_0 \sin Q_0 \end{pmatrix}. \quad (6)$$

Для решения граничной задачи в (2) следует ввести связь между  $E_{it}$  и  $H_i$  ( $i = 1, 2$ ) на верхней и нижней поверхностях пленки

$$E_{1t}(0) = E_0 + E_R = \Phi_0(H_0 - H_R), \quad E_{2t}(0) = E_h = -\Phi_h H_h,$$

$$E_{1t}(d) = u_0 H_1(d), \quad E_{2t}(d) = u_h H_2(d). \quad (7)$$

Соотношения (7) записаны в предположении, что подложка не дает дифракционное рассеяние в области дифракционного максимума пленки;  $u_0, u_h = \sqrt{\Phi_0^2 + \chi_0^{\text{ам}}}$ ,  $\chi_0^{\text{ам}}$  — восприимчивость подложки;  $E_0$  ( $H_0$ ),  $E_R$  ( $H_R$ ) и  $E_h$  ( $H_h$ ) обозначают амплитуды падающей, зеркально отраженной и (зеркальной) дифрагированной волн соответственно. Решение системы (2) с учетом (7) дает общее выражение для  $E_h$  для случая кристаллической пленки на аморфной подложке

$$E_h = -2\Phi_0 \frac{(l_{21} - u_0 l_{11})(l_{42} - u_h l_{32}) - (l_{22} - u_0 l_{12})(l_{41} - u_h l_{31})}{[(l_{21} - u_0 l_{11}) - \Phi_0(l_{22} - u_0 l_{12})][(l_{43} - u_h l_{33}) - \Phi_h(l_{44} - u_h l_{34})]} E_0, \quad (8)$$

где  $l_{ij}$  ( $i, j = 1, 4$ ) — компоненты матрицы  $L(d)$ .

Интенсивность дифрагированной волны равна  $I_h = |E_h/E_0|^2 \Phi_h/\Phi_0$ . В общем случае вычисление  $L(d)$  можно провести, разбив пленку на достаточно тонкие слои, в которых  $\chi_{0,h}(z), \psi(z) = \text{const}$  и перемножив матричные экспоненциалы вида (5), соответствующие отдельным слоям. Для однородной кинематической пленки, учитывая явный вид  $L(d)$  (5), можно привести общее решение (8) к виду

$$E_h = - \frac{\chi_h t_{01}^h t_{12}^h e^{ikd(\psi + \eta_0 + \eta_h)}}{2\Phi_h (1 + r_{01}^h r_{12}^h e^{2ikd\eta_0}) (1 + r_{01}^h r_{12}^h e^{2ikd\eta_h})} \left\{ \frac{1 - e^{-ikd(\psi + \eta_0 + \eta_h)}}{\psi + \eta_0 + \eta_h} + \right. \\ \left. + \frac{1 - e^{-ikd(\psi - \eta_0 + \eta_h)}}{\psi - \eta_0 + \eta_h} r_{12}^h + \frac{1 - e^{-ikd(\psi + \eta_0 - \eta_h)}}{\psi + \eta_0 - \eta_h} r_{12}^h + \frac{1 - e^{-ikd(\psi - \eta_0 - \eta_h)}}{\psi - \eta_0 - \eta_h} r_{12}^h \right\}, \quad (9)$$

где  $r_{01}^{0, h}$ ,  $r_{12}^{0, h}$ ,  $t_{01}^{0, h}$  — френелевские коэффициенты отражения и пропускания на границе внешняя среда — пленка и пленка — подложка для проходящей и дифрагированной волн соответственно

$$r_{01}^{0, h} = \frac{\Phi_{0, h} - \eta_{0, h}}{\Phi_{0, h} + \eta_{0, h}}, \quad r_{12}^{0, h} = \frac{\eta_{0, h} - u_{0, h}}{\eta_{0, h} + u_{0, h}}, \quad t_{01}^{0, h} = \frac{2\Phi_{0, h}}{\Phi_{0, h} + \Phi_{0, h}}. \quad (10)$$

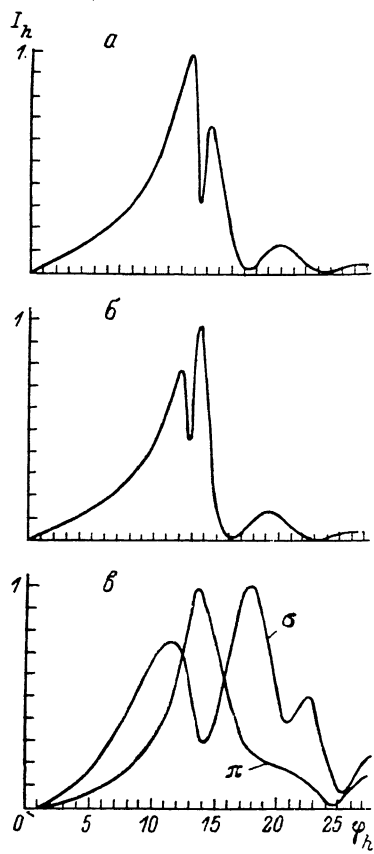
Это выражение имеет очевидный смысл, если учесть, что проходящую и дифрагированную волны в пленке можно представить в условиях ПВО в виде

$$E_{1, 2}(z) = \frac{t_{01}^{0, h} E_{0, h}}{1 + r_{01}^{0, h} r_{12}^{0, h} e^{2ikd\eta_{0, h}}} \left\{ e^{ikz\eta_{0, h}} + r_{12}^{0, h} e^{ik(2d-z)\eta_{0, h}} \right\}, \quad (11)$$

а  $\psi$  возникает в (9) при наличии периодичности  $\chi_L$  по  $z$ .

Конкретные расчеты показывают (см. рисунок, а, б), что даже при незначительных различиях электронных плотностей пленки и подложки ( $\sim 5\%$ ) невозможно ограничиться представлением преломленной волны в виде затухающей френелевской волны; искажение структуры поля в пленке в этом случае вызывает отчетливое изменение формы  $I_h(\phi_h)$  соотношения между интенсивностями сателлитов и их положением.

Существенное различие характера взаимодействия в динамическом и кинематическом случаях дифракции обнаруживается сравнением рисунков а и в.<sup>1</sup> Кинематическая теория скользящей дифракции, применимая к мозаичным поверхностям, несколько проще динамической (ее дисперсионное уравнение не 4-й степени, а 2-й). Это упрощение относится не только к математической стороне вопроса, заключающейся в возможности всегда получить аналитическое решение, как в данной работе. Предположение о независимости структуры поля проходящей и дифрагированных волн позволяет решать задачу с учетом постепенного изменения не только электронной плотности или степени аморфизации, но и тангенциальной составляющей параметра решетки, что представляет значительный практический интерес.



Нормированные кривые по углу выхода  $I_h(\phi_h)$ , рассчитанные для кристаллической пленки толщиной 600 Å по кинематической (а, б) и динамической (в) теориям.

а, в —  $\chi_0 = \chi_0^d$ ; б —  $\chi_0 = 0.95 \chi_0^d$ . Расчет для (220), отражения CuK $\alpha$ , излучения от монокристалла кремния,  $\varphi_h = 15^\circ$ . в — динамические кривые для поляризаций падающего излучения  $\sigma$  и  $\pi$  (кинематические кривые не зависят от поляризации).

### Список литературы

- [1] Marra W. C., Eisenberger P., Cho A. J. // J. Appl. Phys. 1979. Vol. 50. N 11. P. 6927—6933.

- [2] Андреева М. А., Борисова С. Ф., Степанов С. А. // Поверхность. 1985. № 4. С. 5—26.

<sup>1</sup> Кинематический предел динамической теории в этой геометрии [8] имеет место для очень тонких пленок  $d \leqslant 50$  Å.

- [3] Щеглов М. П., Андреева М. А., Кюнн Р. Н. // ЖТФ. 1989. Т. 59. Вып. 9.  
[4] Afanas'ev A. M., Melkonyan M. K. // Acta Cryst. 1983. Vol. A39. N 2. P. 207–210.  
[5] Vineyard G. H. // Phys. Rev. 1982. Vol. B26. P. 4146–4159.  
[6] Dietrich S., Wagner H. // Z. Phys. 1987. Vol. B56. P. 207–215.  
[7] Андреева М. А., Борисова С. Ф., Ханачев Ю. П. // Металлофизика. 1986. Т. 8. Вып. 5. С. 44–49.  
[8] Александров П. А., Афанасьев А. М., Степанов С. А. // Поверхность. 1984. № 8. С. 9–18.

Московский государственный  
университет им. М. В. Ломоносова  
Физический факультет

Поступило в Редакцию  
26 апреля 1988 г.

01; 09

Журнал технической физики, т. 59, в. 9, 1989

## ВОЛНЫ ПОЛЯРИЗАЦИИ В НЕЛИНЕЙНОМ ДИЭЛЕКТРИКЕ

Ю. Н. Зайко

Уравнения Максвелла для электрического  $E$  и магнитного полей совместно с уравнением для поляризации  $P$  в нелинейном диэлектрике можно привести к виду [1, 2]

$$\begin{aligned} c^2 E_{zz} &= E_{tt} + 4\pi P_{tt}, \\ P_{tt} + \sigma P_t + \omega_0^2 P + \alpha P^3 &= -\frac{\omega_p^2}{4\pi} E. \end{aligned} \quad (1)$$

Волна распространяется вдоль направления  $z$ ;  $\omega_0$ ,  $m$  — частота малых колебаний и эффективная масса связанных осцилляторов (модель диэлектрической среды);  $\omega_p^2 = 4\pi Ne^2/m$ ,  $N$  — число осцилляторов в единице объема;  $\sigma$  — затухание.

В (1) предполагается, что кристалл обладает центром симметрии, в противном случае ангармонизм описывается слагаемым  $\alpha P^2$  во втором уравнении. Для первого случая система (1) использовалась в [1] для исследования задачи о модуляционной неустойчивости монохроматической волны.

Применим для исследования (1) метод многомасштабных разложений [3]. Введем новые переменные  $\xi = \varepsilon^{\gamma}(z - ut)$ ,  $\tau = \varepsilon^{\beta} t$ ,  $\varepsilon$  — малый параметр. Представим поля в виде разложений

$$\begin{aligned} E &= E_0 + \varepsilon E^{(1)} + \varepsilon^2 E^{(2)} + \dots, \\ P &= P_0 + \varepsilon P^{(1)} + \varepsilon^2 P^{(2)} + \dots. \end{aligned} \quad (2)$$

Подставляя (2) в (1) (предварительно второе уравнение в (1) надо проинтегрировать по  $t$ ), имеем в нулевом порядке по  $\varepsilon$ :  $\omega_0^2 P_0 + \alpha P_0^3 = (\omega_p^2/4\pi) E_0$ . Чтобы разложение по целым степеням  $\varepsilon$  имело место, необходимо потребовать  $\beta = \gamma + 1$ . В первом порядке по  $\varepsilon$  получаем уравнение, определяющее скорость длинноволновых возмущений  $u$ :  $\omega_0^2 + 3\alpha P_0^2 = \omega_p^2 u^2/(c^2 - u^2)$ . Пользуясь этим уравнением и выражая  $E^{(1)}$  с помощью уравнений первого порядка через  $P^{(1)}$ , из уравнений второго порядка по  $\varepsilon$  исключим величины  $E^{(2)}$ ,  $P^{(2)}$  и получим уравнение для  $P^{(1)}$  ( $\gamma = 1/2$ )

$$P_{\tau}^{(1)} + \frac{3\alpha P_0}{\omega_p^2} \left( \frac{c}{u} - \frac{u}{c} \right)^2 P^{(1)} P_{\xi}^{(1)} + \frac{1}{2\omega_p^2} \left( \frac{c}{u} - \frac{u}{c} \right)^2 \left[ \frac{\sigma}{\varepsilon^{1/2}} u^2 P_{\xi\xi}^{(1)} - u^3 P_{\xi\xi\xi}^{(1)} \right] = 0. \quad (3)$$

Из (3) видно, что без учета затухания ( $\sigma = 0$ ) формальный параметр  $\varepsilon$  не входит в уравнение и его роль в разложении (2) играет фактический параметр малости — отношение переменной составляющей поляризации к  $P_0$ ; если же  $\sigma \neq 0$ , то разложение (2) следует вести по  $\sigma^2$ .

Уравнение (3) является известным уравнением Кортевега де Бриза — Бюргерса (КДБ). Его решением является ударная волна, структуру которой можно определить из асимптотики стационарного решения с малой амплитудой  $\sim e^{ik\xi}$ . Для  $k$  получаем выражение  $k_1, k_2 = 1/2u \times \sqrt{c^2 - (8\omega_p^2/(c/u - u/c))^2}$ . При  $\sigma > (2\sqrt{2}\omega_p)/|c/u - u/c|$  возможны решения (3) в виде доменных стенок двух типов, при  $\sigma < (2\sqrt{2}\omega_p)/|c/u - u/c|$  — в виде последовательности доменов, убывающих по амплитуде. Об экспериментальном наблюдении таких структур сообщалось в работе [4].